*К статье Астраханцева Ю.Г., Белоглазовой Н.А., Глухих И.И., Иголкиной Г.В., Старовойтова В.П.– «Вариации геомагнитного поля на Кольской и Уральской сверхглубоких ...»*

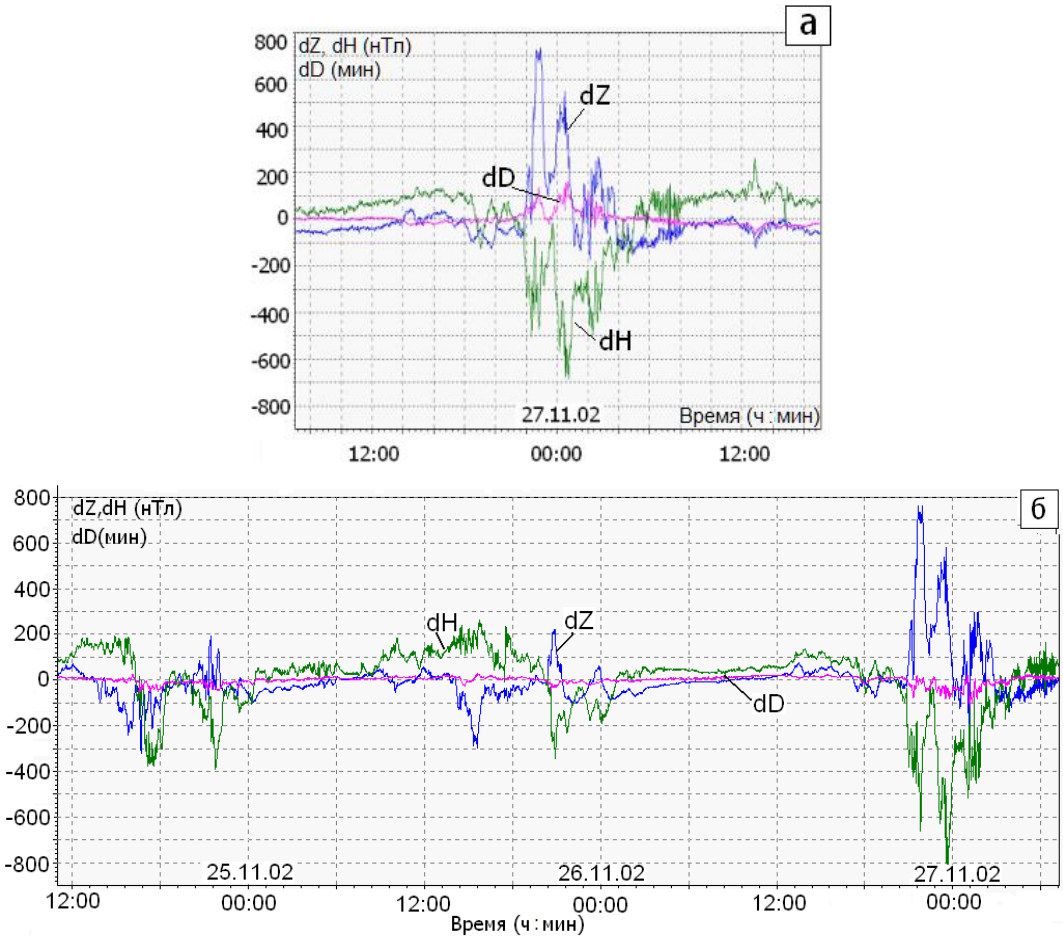


**Рис. 2.** Вариации геомагнитного поля: а – на поверхности за период 26–27.11.2002 г.; б – в скважине-спутнике за период 24–27.11.2002 г.

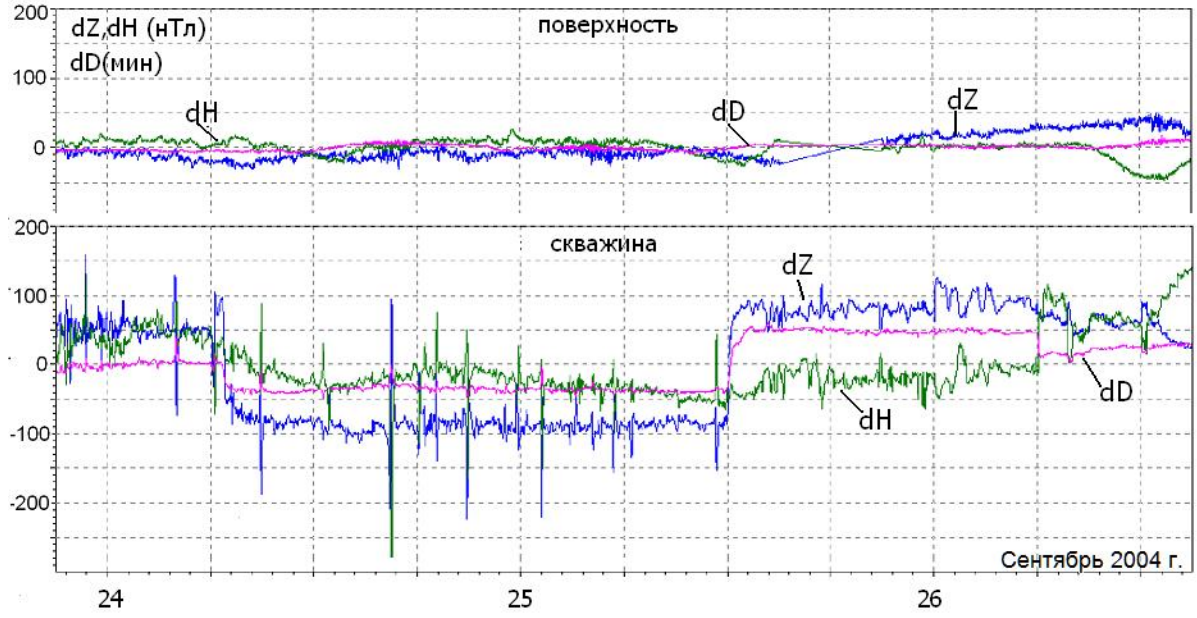


**Рис. 8.** Вариации геомагнитного поля, зарегистрированные на Уральской сверхглубокой скважине в период 23–26.09.2004 г. (глубина установки 5970 м)

*К статье Виноградова А.М. – «Геофизические поля и положение уникального медно-цинкового месторождения в структуре Гайского рудного узла»*

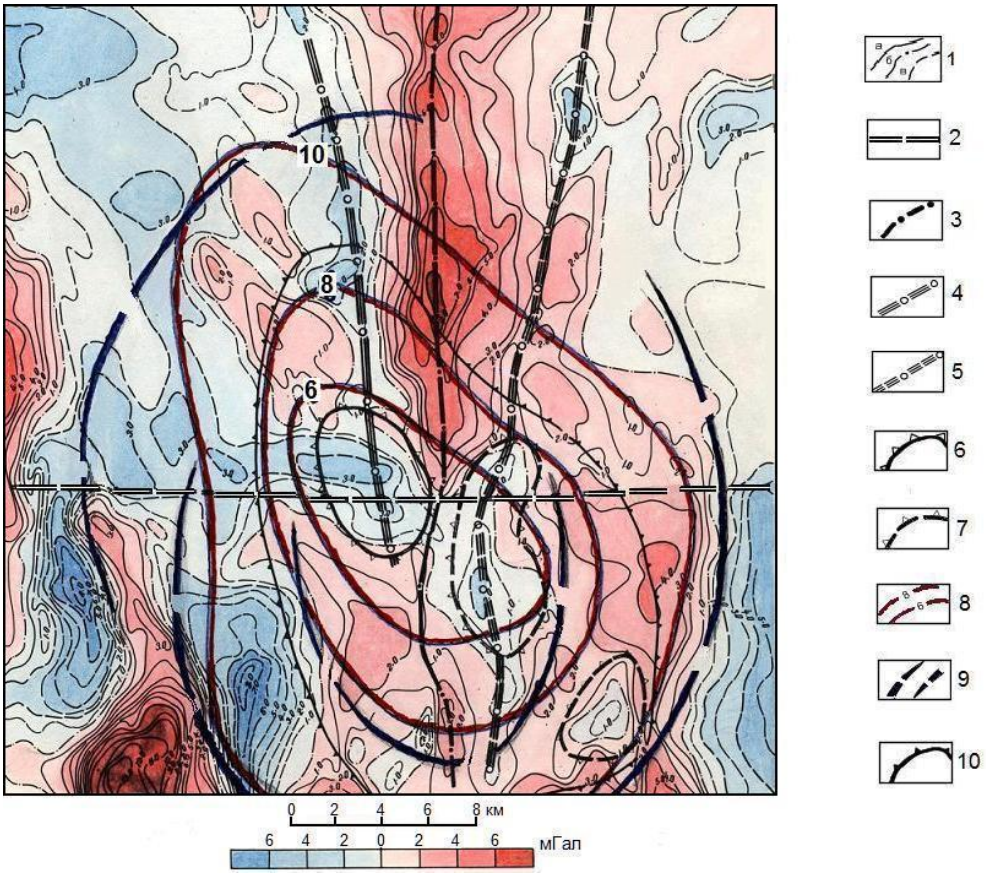


**Рис. 3.** Структура Гайского рудного узла в остаточных аномалиях силы тяжести (метод вариаций R=5 км, сеть 1000х500 м), в результатах дешифрирования космических снимков (Косарев, 1985) и данных пространственного сейсмического зондирования (Халевин, Виноградов, 1976): 1 – изолинии остаточных аномалий силы тяжести (а – положительные, б – нулевые, в – отрицательные); 2 – осевая линия разграничения блоков земной коры, выделяемая по замыканиям локальных аномалий и изменениям структуры поля, отвечающая скрытым секущим тектоническим дислокациям; 3 – осевая линия интенсивных положительных аномалий, связанных с базитовым магматизмом вдоль Иреныкского глубинного разлома; 4 – осевая линия отрицательных аномалий остаточных полей силы тяжести, фиксирующих распределение центров вулканических проявлений дифференцированного, преимущественно кислого состава; 5 – осевая линия понижений поля силы тяжести, вероятно, связанная с проявлениями магматитов кислого состава под покровом вулканомиктовых отложений; 6 – отрицательная аномалия силы тяжести, фиксирующая апикальную часть Гайской рудоносной вулканической постройки; 7 – отрицательные аномалии, предположительно, фиксирующие вулканические структуры под покровом вулканомиктовых отложений; 8 – изолинии опорного отражающего горизонта (в км) по данным пространственного сейсмического зондирования; 9 – оси фиксирующие коррелируемые распределения теневого рельефа космических снимков; 10 – условные контуры Гайского рудного узла

*К статье Виноградова А.М. – «Геофизические поля и положение уникального медно-цинкового месторождения в структуре Гайского рудного узла»*

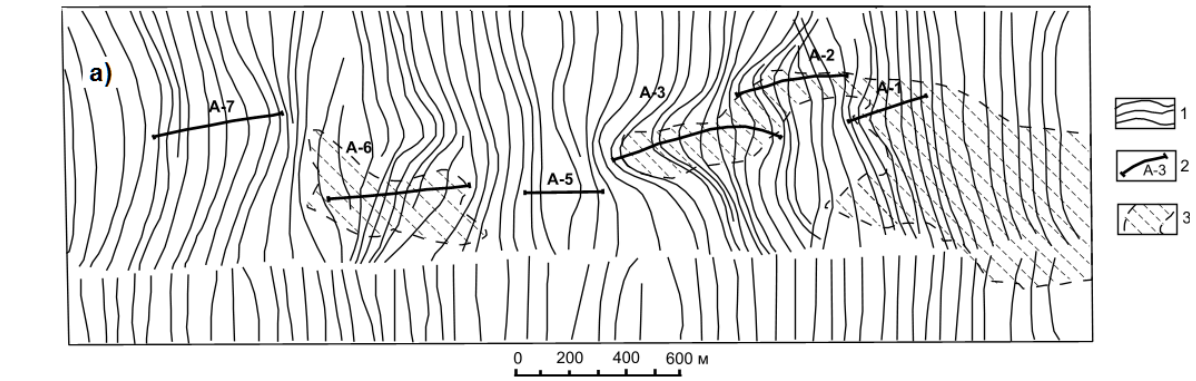


**Рис. 1.** План результатов работ (а) методом изолиний (по Д.Ф. Уманцеву, 1942 г.) в сопоставлении с положением аномалий в проекциях на карьеры (б) Гайского месторождения: вид из космоса (Калиновка … , 2003): 1 – изолинии потенциала линейных электродов по методу изолиний; 2 – оси аномальных распределений изолиний; 3 – горизонтальные проекции рудных тел месторождений

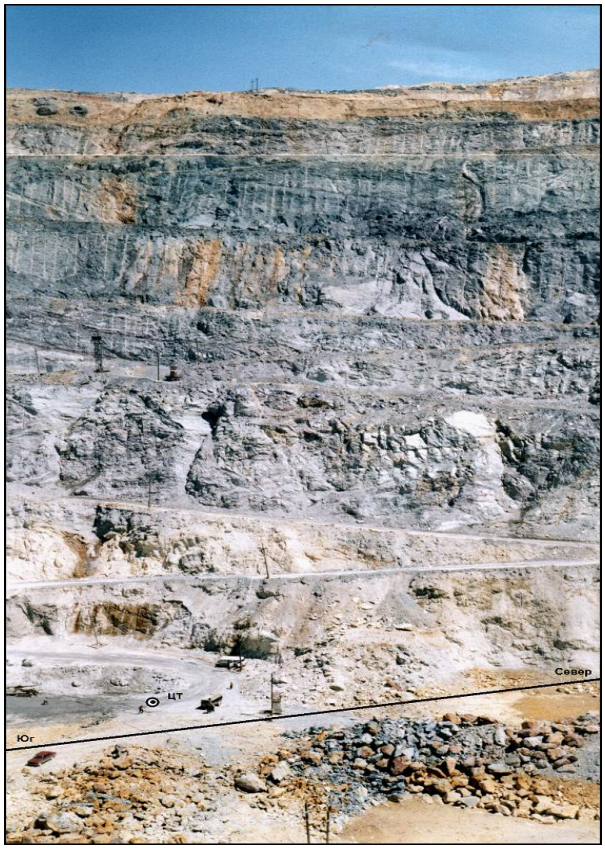


**Рис. 8.** Западный борт карьера № 2 и его подошва с положением центра тяжести (ЦТ) объекта и профиля (Юг – Север) наблюдений ЗМПП автономным датчиком в поле генераторной петли

*К статье Носкевича В.В., Федоровой Н.В., Муравьева Л.А. – «Картирование археологических памятников с помощью магнитометрии»*

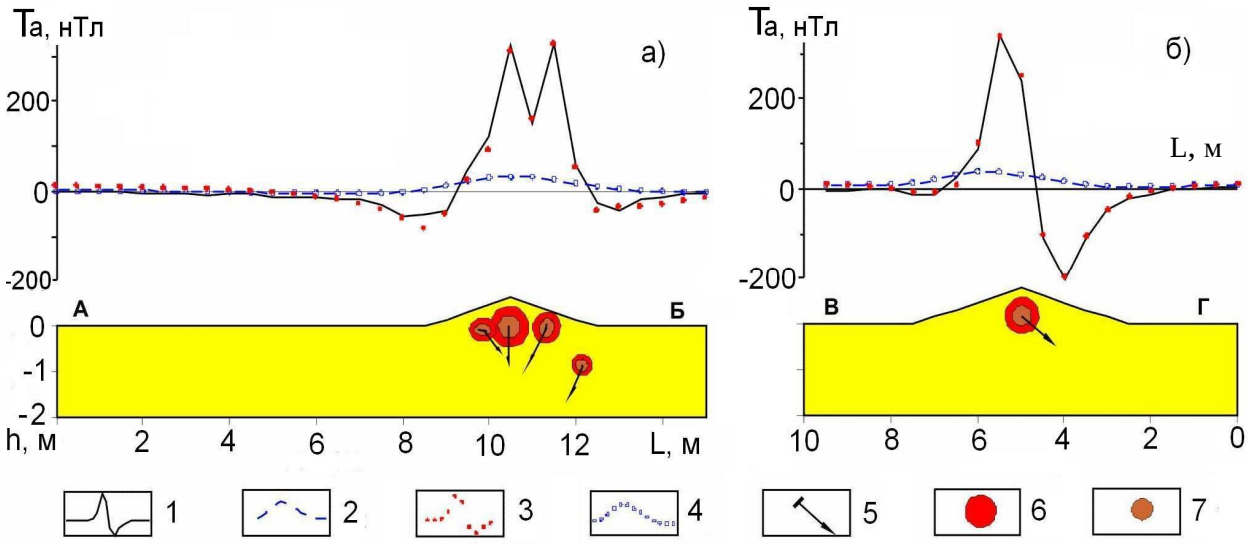


**Рис. 5.** Результаты интерпретации магнитных аномалий над курганом:
а) профиль АБ; б) профиль ВГ;
условные обозначения: 1 – аномальное поле на высоте 0,35 м; 2 – аномальное поле на высоте 2,15 м; 3 – модельное поле на высоте 0,35 м; 4 – модельное поле на высоте 2,15 м; 5 – модельный источник (намагниченная пластина) и направление намагниченности источника; 6 – эквивалентный объект с намагниченностью 3 А/м; 7 – эквивалентный объект с намагниченностью 10 А/м

*К статье Климшина А.В., Козловой И.А., Рыбакова Е.Н., Луковского М.Ю. – «Экспериментальные и теоретические исследования переноса радона в грунтах в условиях промерзания»*

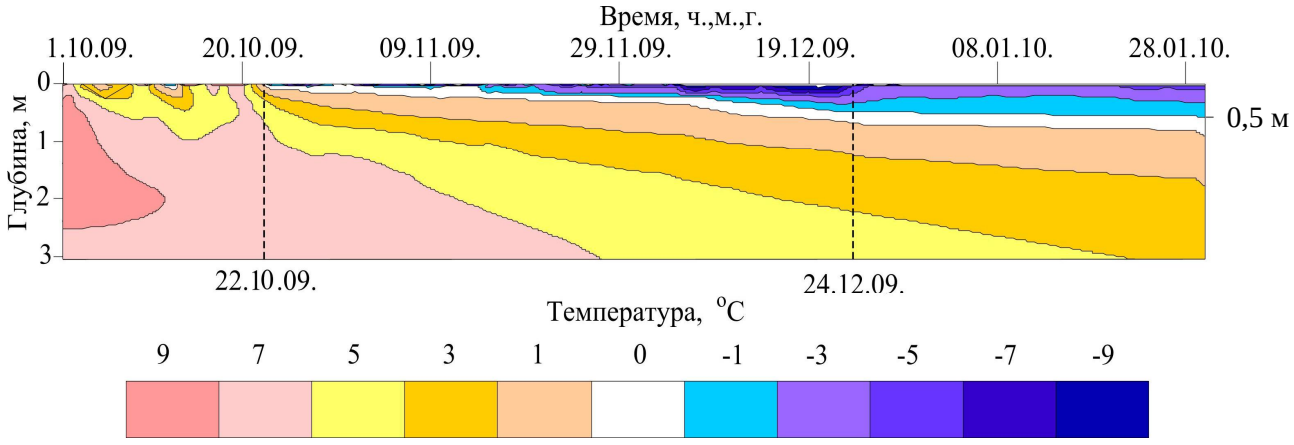


**Рис. 2.** Результаты измерений температуры грунтов

*К статье Носкевича В.В., Федоровой Н.В., Муравьева Л.А. – «Картирование археологических памятников с помощью магнитометрии»*

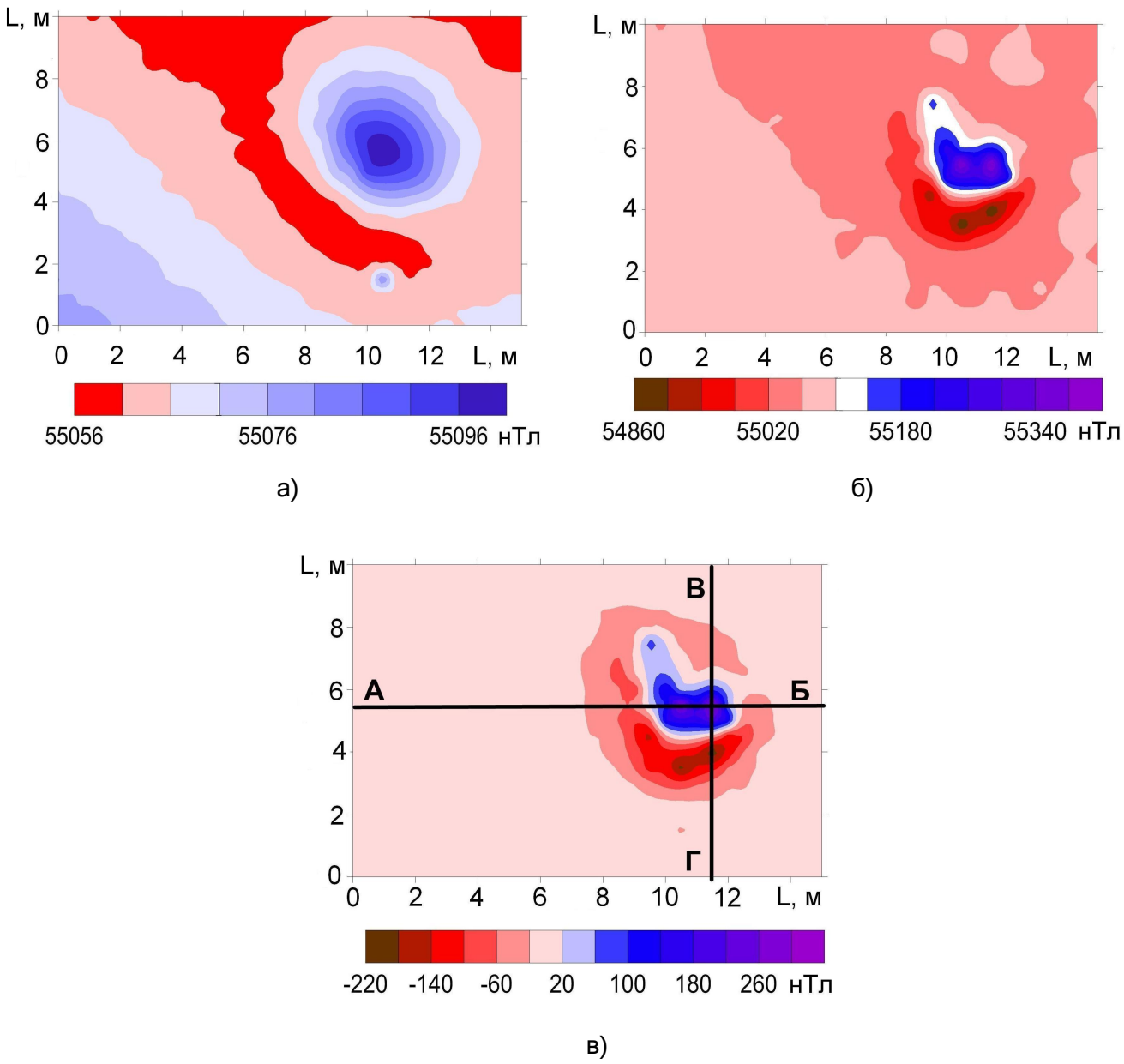


**Рис. 4**. Результаты магнитной съемки Т на кургане:

а) карта $T_в$ (верхний датчик);

б) карта $T_н$ (нижний датчик);

в) карта $T_а$ (разностное поле между двумя датчиками); линиями АБ и ВГ указаны положения профилей, по которым проведена интерпретация аномалий

*К статье Носкевича В.В., Федоровой Н.В., Муравьева Л.А. – «Картирование археологических памятников с помощью магнитометрии»*

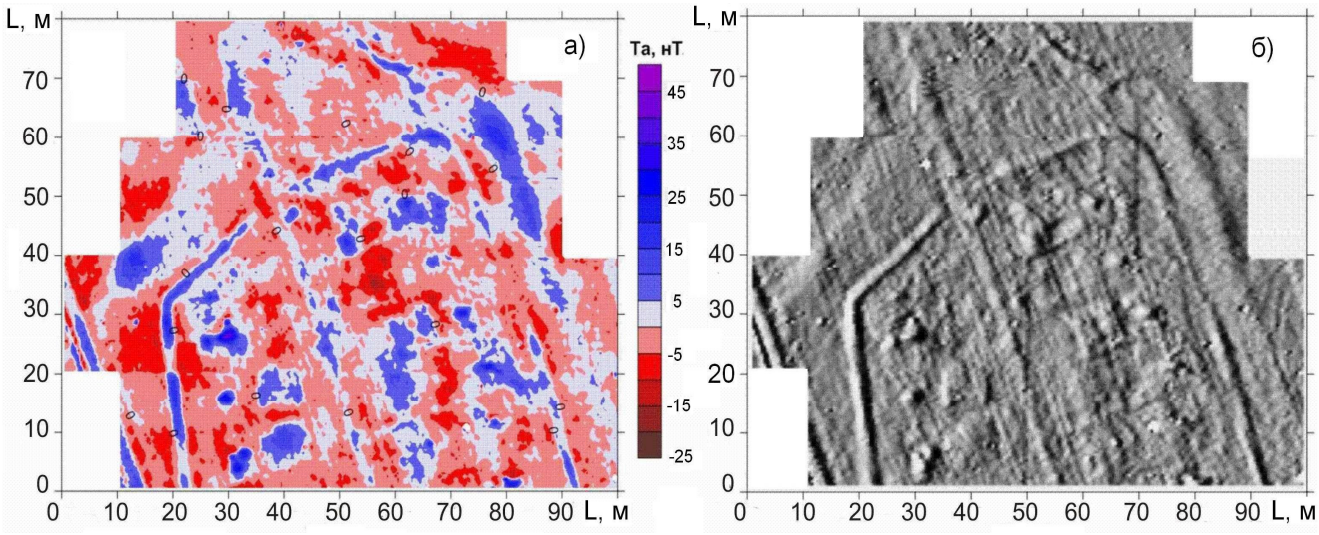


**Рис. 2.** Карта магнитных аномалий северной части поселения Коноплянка: а – в виде изолиний; б – в виде затененного рельефа

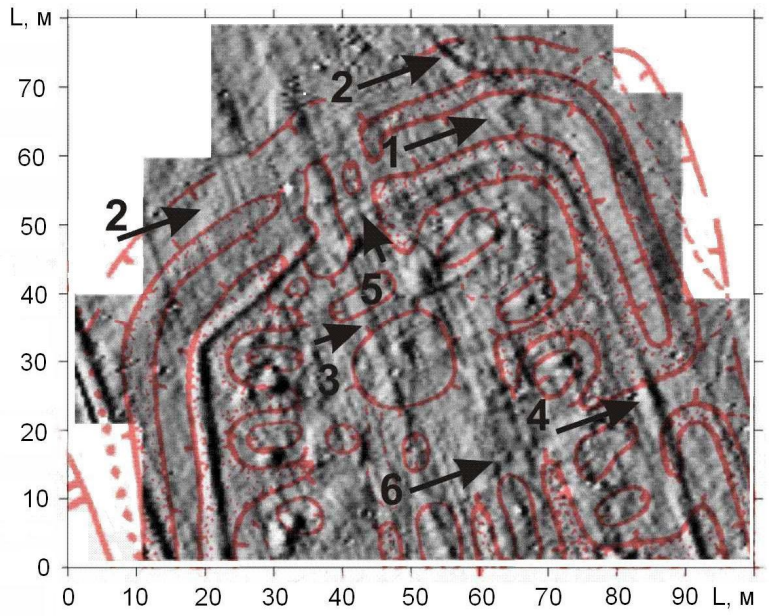


**Рис. 3.** Сопоставление карты аномалий магнитного поля и схемы поселения Коноплянка, построенной по аэрофотоснимку (Зданович, Батанина, 2007); элементы схемы показаны красным цветом; пояснения – в тексте

*К статье Уткина В.И., Цурко И.А. – «О связи неравномерности вращения и сейсмичности ...»*

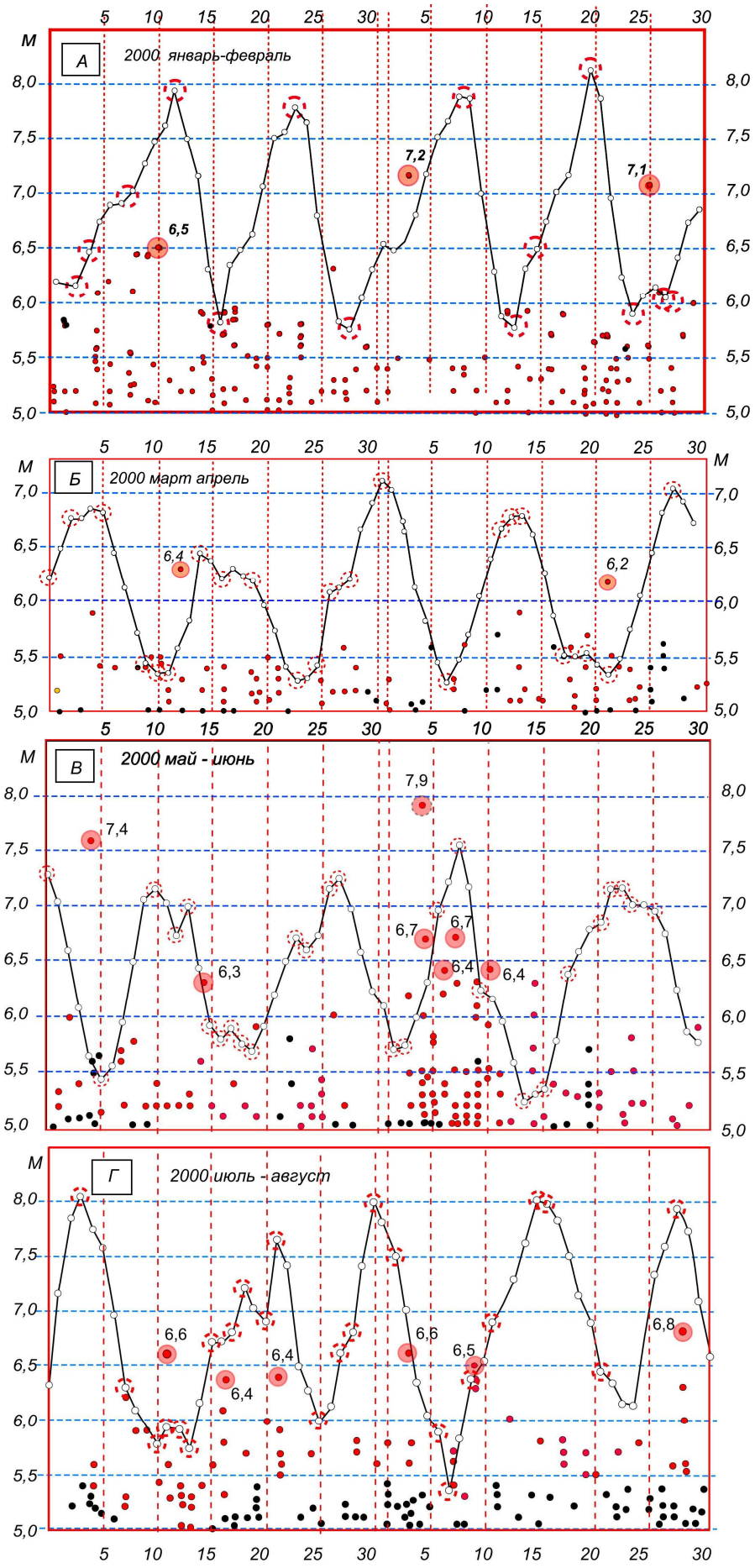


**Рис. 4(А–Г).** Сопоставление скорости вращения Земли и прошедших сейсмических событий за 2000 г.:
А – январь-февраль;
Б – март-апрель;
В – май-июнь;
Г – июль-август;
∘ – кривая ускорения вращения Земли;
◌ – точки изменения направления ускорения;
● – ожидаемые землетрясения;
● – не ожидаемые землетрясения;
◉ – наиболее крупные землетрясения

*К статье Уткина В.И., Цурко И.А. – «О связи неравномерности вращения и сейсмичности ...»*

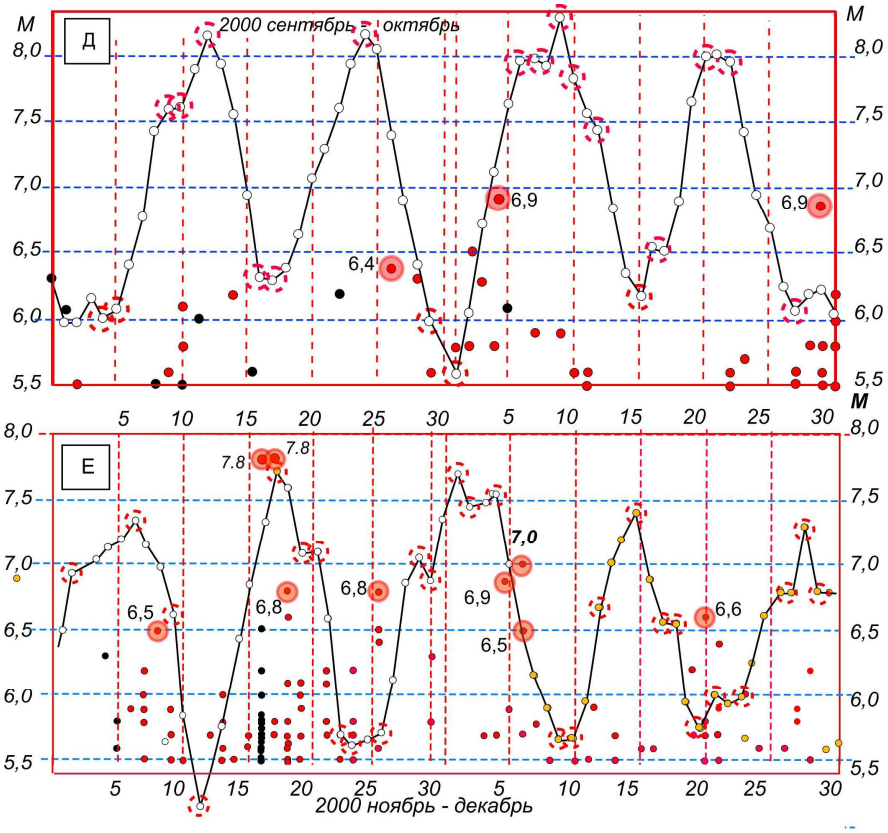


**Рис. 4(Д, Е).** Сопоставление скорости вращения Земли и прошедших сейсмических событий за 2000 г.:
Д – сентябрь-октябрь;
Е – ноябрь-декабрь
∘ – кривая ускорения вращения Земли ;
◌ – точки изменения направления ускорения;
● – ожидаемые землетрясения
● – не ожидаемые землетрясения
◎ – наиболее крупные землетрясения

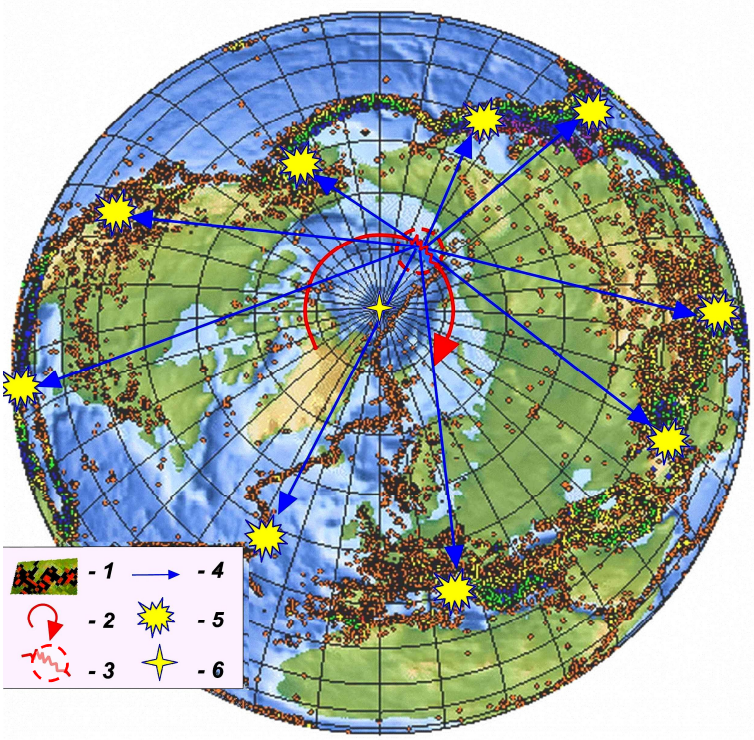


**Рис. 5.** Схема возникновения «роя» землетрясений в различных частях планеты:
1 – сейсмогенные пояса планеты;
2 – направление вращения планеты;
3 – неоднородность вращения;
4 – направление воздействия возникающего при этом механического импульса;
5 – землетрясения, возникающие при сбросе напряжения горных пород;
6 – условное обозначение оси вращения Земли